

достигать величины $\sim 10^{-5}$. Низколежащие ядерные γ -переходы обычно электрические квадрупольные или магнитные дипольные, поэтому даже в отсутствие сверхтонкого расщепления ядерных уровней энергии среда обладает дополнит. пространств. дисперсией. При резонансном рассеянии излучения на ядрах вперед среда является изотропной и неигротропной. Для магнитного дипольного перехода это же справедливо и в любом дифракц. направлении. В случае электрического квадрупольного перехода вектор обратной решетки H характеризуется в пространстве нек-рым направлением, поэтому возникает оптич. анизотропия свойств кристалла. Магн. и (или) электрич. сверхтонкое взаимодействие, к-ре приводит к снятию вырождения ядерных уровней, вносит дополнит. анизотропию. В присутствии сверхтонкого расщепления среда в прямом направлении приобретает оптич. активность. На частотах ядерных γ -переходов можно наблюдать хорошо выраженные эффекты частотной и пространств. дисперсии, а также естественной (т. е. вызванной внутр. сверхтонкими взаимодействиями) и наведённой внешн. полями оптич. активности и анизотропии. Для учёта ядерного резонансного вклада в П. р. в (3) следует аддитивно добавить тензор ядерного структурного фактора. Температурное поведение ядерного вклада в П. р. определяется ф-кой $\chi_{ij}^H(k, \omega)$.

Для П. р. характерен ряд особых симметрийных соотношений, в к-рых наряду с тензорными индексами (i, j) и волновым вектором k участвует также и вектор обратной решетки H . Напр., применение флуктуационно-диссипационной теоремы с учётом (3) для непоглощающего кристалла приводит к следующему симметрийному соотношению:

$$\chi_{ij}^H(k, \omega) = \chi_{ij}^H(-k-H; -\omega) = \chi_{ij}^{-H^*}(k+H; \omega),$$

из к-рого следует эквивалентность отражений с вектором дифракции H и $-H$ (закон Фриделля). Следовательно, с помощью дифракции нельзя различить центросимметричные и нецентральносимметричные кристаллы.

П. р. обычным образом связана с диэлектрической проницаемостью ϵ :

$$\epsilon_{ij}^H = \delta_{ij} \delta_{H0} + 4\pi \chi_{ij}^H(k, \omega).$$

Для направления рассеяния вперед ($k' = k, H = 0$) можно ввести показатель преломления $n(k, \omega)$:

$$n(k, \omega) = (\epsilon_i^* \epsilon_{ij}^0(k, \omega) \epsilon_j)^{1/2} \simeq 1 - 2\pi \frac{N}{V} \frac{e}{m\omega^2} F(k, 0; \omega),$$

где $F(k, 0; \omega)$ — структурный фактор рассеяния на нулевом угле, $F(k, 0; \omega) = (\epsilon_i^* F_{ij}(k, k'; \omega) \delta_{k'0} \delta_{k0} e_j)$; e_i и e_j — единичные векторы поляризации падающего и рассеянного излучений. Показатель преломления $n(k, \omega)$ меньше единицы на $\sim 10^{-8}$. Это означает, что эффекты преломления в рентг. диапазоне очень слабы, а среда имеет меньшую оптич. плотность, чем вакуум. В соответствии с этим в рентг. оптике говорят о полном *внешнем отражении*, критич. угол к-рого выражается через нулевую фурье-компоненту П. р.:

$$\theta_k \approx 2\sqrt{\pi \chi^0(k, \omega)} \sim 10^{-3} \text{ рад.}$$

Минимальная часть П. р. определяет линейный коэф. поглощения излучения в среде:

$$\mu(k, \omega) = \frac{\omega}{c} \operatorname{Im} \chi^0(k, \omega) = \frac{\omega N}{c V m \omega^2} \operatorname{Im} F(0, \omega).$$

Эффекты локального поля в рентг. диапазоне чрезвычайно малы и никогда не учитываются.

Несовершенства строения реального кристалла (точечные дефекты, дислокации, деформации и т. д.), если их присутствие не ведёт к изменению рассеивающей

способности атомов, можно описать, введя ф-цию смещения узла кристаллич. решётки $u(r, t)$. Тогда в координатном пространстве П. р. уже не является периодич. ф-цией и приближённо её можно задать выражением $\chi[r + u(r, t)]$. При достаточно малых смещениях кристалл по-прежнему характеризуется набором П. р. для каждого дифракц. направления, однако в этом случае фурье-компоненты П. р. являются ещё и ф-циями координат: $\chi^H(r, k; \omega)$. Зависимость П. р. от координат ведёт к размытию и деформации дифракц. максимумов. Напр., если $u(r)$ имеет гармонич. зависимость от координат, то П. р. отлична от нуля не только в направлениях $k' = k + H$, но и в близких к ним направлениях $k' = k + H + lq$ (т. н. сателлиты), где q — волновой вектор ф-ции смещения $u(r, t)$, а $l = \pm 1, \pm 2, \dots$ — порядок сателлита; сателлиты одного номера, но с противоположными знаками располагаются симметрично относительно оси максимума.

П. р. для аморфных веществ и жидкостей, где существует лишь ближний порядок в расположении атомов, не имеет таких ярких физ. проявлений, как в кристаллах. П. р., как и поляризуемость в др. диапазонах эл.магн. спектра, является универсальной характеристикой диэлектрич. свойств среды. С её помощью возможно описание всех оптич. явлений в рентг. диапазоне, и прежде всего дифракции.

Лит.: Джейс Р., Оптические принципы дифракции рентгеновских лучей, пер. с англ., М., 1950; Колпаков А. В., Бушуев В. А., Кузьмин Р. Н., Диэлектрическая проницаемость в рентгеновском диапазоне частот, «УФН», 1978, т. 126, в. 3, с. 479.

А. В. Колпаков.

ПОЛЯРИМЕТР — 1) прибор для измерения угла вращения плоскости поляризации монохроматич. света в веществах, обладающих естественной или наведённой магн. полем оптической активностью. **Дисперсию оптического вращения** измеряют спектрополяриметрами.

П. делятся на визуальные и фотозлектрические. Конечным измерит. элементом в тех, и других является светочувствит. устройство (глаз или фотоэлектрич. приёмник), реагирующее на изменение интенсивности света, а не на состояние его поляризации. Этот принцип реализуется, напр., в П., построенных по схеме полутеневых приборов. Исследуемое вещество 5 (рис. 1) помещается между полутеневым поляризатором 3, состоящим из двух половин 3—4, и анализатором 6, состоящим из двух половин 6—7.

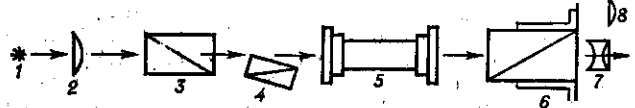


Рис. 1. Принципиальная схема полутеневого поляриметра: 1 — источник света; 2 — конденсор; 3—4 — полутеневой поляризатор; 5 — трубка с исследуемым оптически активным веществом; 6 — анализатор с отсчётным устройством; 7 — зеркальная труба; 8 — окуляр отсчётного устройства.

Пропускание анализатора меняется в соответствии с **Малюса законом** при изменении угла φ между плоскостью поляризации AA анализатора и плоскостью поляризации падающего на него света. Наибольшее изменение интенсивности прошедшего через анализатор света в зависимости от угла φ происходит вблизи угла $\sim 45^\circ$; однако относит. изменение интенсивности максимально вблизи угла $\sim 90^\circ$. Действительно, $(\Delta I/I)/\Delta\varphi \approx 2\tan\varphi \rightarrow \infty$ при $\varphi \rightarrow 90^\circ$. Поэтому для наиб. чувствительной регистрации малых углов вращения плоскость поляризации анализатора AA устанавливается перпендикулярно биссектрисе малого угла 2α между плоскостями поляризации P_1 и P_2 двух половин полутеневого поляризатора (рис. 2, а). В таком случае обе половинки I и II поля зрения имеют одинаковую освещённость. Когда между поляризатором и анализатором находится исследуемое вещество, поворачивающее плоскость поляризации, освещённость резко меняется (рис. 2, б).